



دانشکده مهندسی

گروه برق

بررسی انواع جدید تقسیم کننده‌های توان مکروویو از ۳ گیگا هرتز تا

فهرست

مقدمه پنجه ایشان پنجه ایشان پنجه ایشان پنجه ایشان پنجه ایشان

فصل اول: تقسیم کننده توان ماکروویو ۲

۱-۲. طراحی و شبیه سازی رت ریس تقسیم کننده نامساوی توان ۱۲

^{۱۴} ملاح ته کنتم تان حل دارم، آرایاکه پروژه ریزی، ۲۶ پهنه بند با ۴ پورت خروجی.....

۱-۵. طراحی تقسیم کننده توان نوری
بروژه های و انشاده خان و اسلامی مدنی و شاهزادگان و احمدی و عزیزی لرستانی آذربایجان پوشید
۴۰ فصل دوم: تقسیم کننده توان نوری

برق و انسحاب زنجان ۲. تقسیم کننده توان نوری

۲-۱. بلورهای فوتونی

۲-۴. تقسیم کننده توان بلور فوتونی با سطوح توان مختلف.

^{۵۷} مراجع چندی کروهی آذایگاه بروزه مرت و انشاوه زنجان و اشکوه سطی که من آذایگاه بروزه مرت و انشاوه زنجان و اشکوه سطی

و انجهاد زنجان و اگلده مهندسی کروه برق آزمایشگاه پژوهه برق و انجهاد زنجان و اگلده مهندسی کروه برق آزمایشگاه پژوهه برق و انجهاد

زنجان و اگلده مهندسی کروه برق آزمایشگاه پژوهه برق و انجهاد زنجان و اگلده مهندسی کروه برق آزمایشگاه پژوهه برق و انجهاد

در پایان نامه حاضر در ابتدای فصل اول به معرفی انواع تقسیم کننده های توان ماکروویو پرداخته شده و اگلده

مزیت برخی از انواع مهم آن آورده شده است.

در بخش اول فصل اول به تحلیل مداری و ریاضی تقسیم کننده توان چند ضلعی ماکرواستریپ پرداخته

کروه برق آزمایشگاه پژوهه برق و انجهاد زنجان و اگلده مهندسی کروه برق آزمایشگاه پژوهه برق و انجهاد

آورده شده است.

در بخش دوم فصل اول، طراحی و شبیه سازی یک رت ریس تقسیم کننده نا مساوی توان را مشاهده

خواهید کرد که در فرکانس ۷.۵ تا ۸.۵ گیگاهرتز طراحی و تحلیل شده است.

در بخش سوم فصل اول یکی از بهترین مقسم های توان که مقسم توان گایسل است آورده شده و مدل

بهبود یافته آن نیز مطرح گردیده است.

در بخش چهارم فصل اول به مقسم توان کوچک و پهن باند با ۴ پورت خروجی پرداخته شده است که

ساختاری متقارن دارد و انرژی ورودی را به طور یکسان بین ۴ پورت خروجی تقسیم می کند.

در فصل دوم پایان نامه به معرفی تقسیم کننده توان نوری پرداخته شده است که یکی از اجزاء مهم برای

دست یابی به شبکه غیر فعال نوری است.

در بخش اول فصل دوم ساختار و کاربرد های بلور های فوتونی آورده شده است که جزء مهم بسیاری از

تقسیم کننده های توان نوری است.

در بخش دوم فصل دوم یک تقسیم کننده توان با موجبر های نقص خطی بلور های فوتونی آورده شده

است که بر مبنای تزویج بین مدهای هدایت استفاده شده و ساختار پیشنهادی این مقسم توان توضیح

داده است.

در بخش سوم فصل دوم یک تقسیم توان نوری بر اساس تداخل چند حالته بلور فوتونی مطرح شده است

و مدل و تجزیه و تحلیل آن آورده شده است.

در بخش چهارم فصل دوم تقسیم کننده توان نوری با دو طول موج آورده شده است و به گونه ای طراحی

شده که به طول موج در یک زمان دست پیدا کنیم.

در بخش پنجم فصل دوم به معرفی مقسم توان بلور فوتونی مبتنی بر سیال نوری پرداخته شده است که

با یک ورودی و دو خروجی موازی در یک شبکه بلور بلور فوتونی مثلثی متشکل از حفره های هوا در

بسیاری از SI، طراحی و شبیه سازی شده است که توان هر خروجی بیش از ۳۴ درصد توان ورودی است و در

ساخت آن از دو خم موجبر ۶۰ درجه با اتصال ۷ شکل استفاده شده است.

زنجان و اگلده مهندسی کروه برق آزمایشگاه پژوهه برق و انجهاد زنجان و اگلده مهندسی کروه برق آزمایشگاه

کامان نامه کارشناسی

فصل اول توان ماکرورویو

مزیت های تقسیم کننده توان ویلکینسون: این مزیت از قابل استفاده نبوده و در اینجا برای آشنایی با آن آورده شده است. این مزیت از قابل استفاده نبوده و در اینجا برای آشنایی با آن آورده شده است.

۱- از آن می توان به عنوان نفسیم کننده و هم جمع کننده استفاده نمود.

۲- در حالت تقسیم کنندگی ایزو لاسیون پورت های خروجی نسبت به یکدیگر بیشتر از ۲۰ دسیبل می باشد.

۳- در طراحی آن می توان امپدانس دهانه های ورودی و خروجی آن را به صورت دلخواه تعیین و طراحی نمود.

۴- این تقسیم کننده دارای این خاصیت مفید است که بدون تلفات می باشد در حالی که تمام دهانه های خروجی تطبیق گردیده و این بدان معناست که فقط توان انعکاس یافته تلف خواهد گردید.

۵- می توان آن را به گونه ای ساخت که تقسیم توان به مقدار مساوی انجام گردد.

۶- شیفت فاز دهانه های خروجی یکسان است.

۷- به سادگی بر روی برد های میکرواستریپ (ریزنوارک) قابل پیاده سازی است.

۸- بینای باند وسیع، ای بوشی، مر، دهد.

استفاده در انواع تقویت کننده های ماکروویو جهت جمع کردن توان ورودی به ترانزیستور های قدرت .

استفاده در مسیر فرستنده برای گرفتن نمونه سیگنال خروجی با تضعیف مناسب جهت استفاده در مدارات گیرنده.

اصلًا بصورت مایکرواستریپ دو نوع کوپلر جهتی کاربرد عملی دارد:

- ۱) کوپلر جهتی خط شاخه ای
- ۲) کوپلر جهتی خط پیونده

این دو کوپلر جهتی اساساً در تقسیم کننده های توان مورد استفاده قرار می گیرند و دو ویژگی مهم دارند، یکی آنکه در خروجی آنها نسبت به یکدیگر ایزوله بوده و دیگر اینکه در 90° درجه اختلاف فاز دارند. [1] و [2]

۱-۱. تقسیم کننده توان چند ضلعی ماکرواستریپ

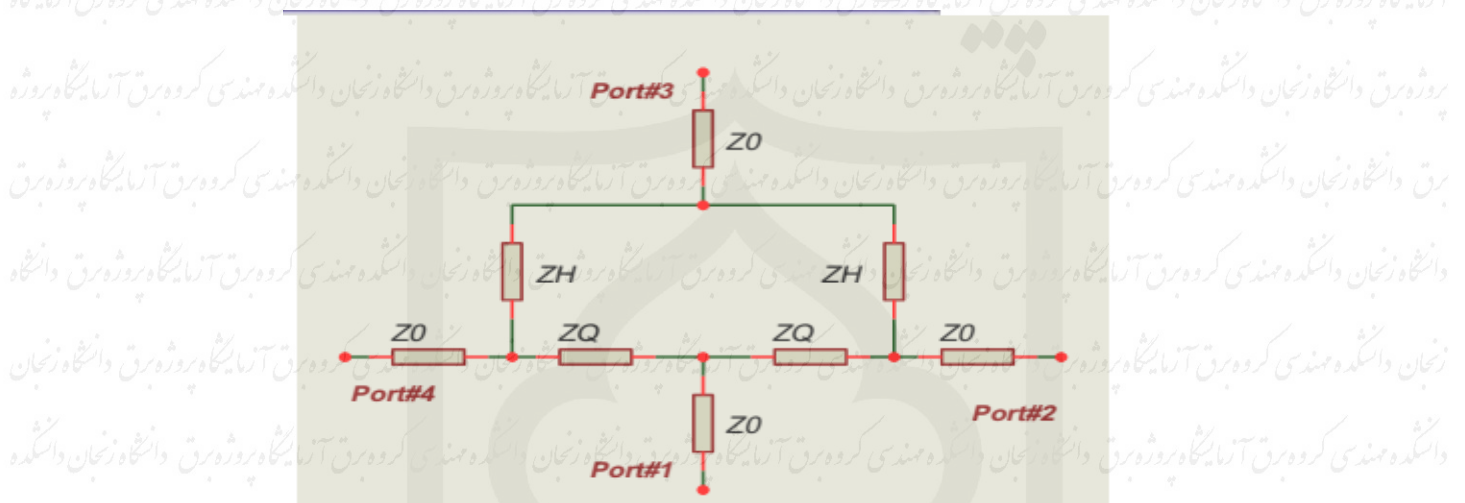
در این قسمت ابتدا به تحلیل ریاضی یک مقسم توان ماکرواستریپ چهار دهانه ای در باند 1900MHz می پردازیم و ماتریس پراکندگی آن را با توجه به ساختار متقارنش از طریق تحلیل مدهای زوج و فرد بدست می آوریم و سپس قطعه را در محیط نرم افزار HFSS طراحی می کنیم و در پایان با استفاده از معادل سازی به کوچک کردن سایز قطعه مورد نظر تا ۰.۵٪ میزان اویله می پردازیم.

مقسم توان چند ضلعی ماکروستریپ بگلی یک ساختار متقارن از قطعات و از خط انتقال می باشد. تحلیل ساده مداری قسمت به بررسی یک مدل ساده از مقسم های توان بگلی با سه پورت خروجی می پردازیم.

Directional Coupler

Directional Coupler Coupled-line Direction Coupler

شكل 1-1 ساختار مقسم توان چند ضلعی ماکرواستریپ



شکا (شکا) عبارت می‌باشد و قدر توان حین اخراج شکا می‌باشد.

در شکل ۱-۲ امپدانس مشخصه مربوط به پورتها را با Z_0 و امپدانس مشخصه خطوط $\lambda/2$ و $\lambda/4$ را به مقداری که در ترتیب با Z_H و Z_Q نشان می دهیم . امپدانس متصل به پورت ۲، برابر $Z_0/2$ و مقدار امپدانس ورودی در پورت ۲، برابر $3/Z_0$ است . امپدانس مشخصه خط $\lambda/4$ برابر است با $Z_Q = 2Z_0/\sqrt{3}$ ، مقدار Z_H تحت تاثیر شرایط تطبیق قرار نمی گیرد و معمولاً برابر با Z_0 است . فاصله بین دو پورت ۲ و ۳ تا پورت ۳ سبب فراهم آوردن شرایط کنترل فاز امواج در پورت ۳ می شود و دو سیگنال هم فاز در پورت ۳ با هم جمع شده و در خروجی پورت ۳ ظاهر می شوند .

محاسبہ ماتریس یہ اکنڈگی

برق و انشاه زنجان و اشکده مندی کروه برق آزما گاه بروه برق و انشاه زنجان و اشکده مندی کروه برق آزما گاه بروه برق
مقدار امپدانس مشخصه پورت ۳ با توجه به شرایط تطبیق برابر $2Z_0$ می شود . اگر از پورت ۱ به مدار
نگاه کنیم مقدار Z_{in1} به صورت زیر در نظر گرفته می شود :

$$z_{inl} = z_0 \frac{z_l + jz_0 \operatorname{tag} \beta l}{z_0 + jz_l \operatorname{tag} \beta l}$$

مندی کروه برق آنایگاهه بروره برق و انتگاهه زنجان و انتگاهه مندی کروه برق آنایگاهه بروره برق و انتگاهه زنجان و انتگاهه مندی

$$z_{int} = z_0 \quad l = \frac{\lambda}{2} \quad Bl = \pi \quad z_i = 2z_0 \quad z_0 = \frac{2}{3}z_0$$
کروه برق آنایگاهه بروره برق و انتگاهه زنجان و انتگاهه مندی کروه برق آنایگاهه بروره برق و انتگاهه زنجان و انتگاهه مندی کروه
 در نتیجه مقدار اولین پارامتر از ماتریس پراکندگی مقسم توان ماکرواستریپ را به صورت زیر در نظر

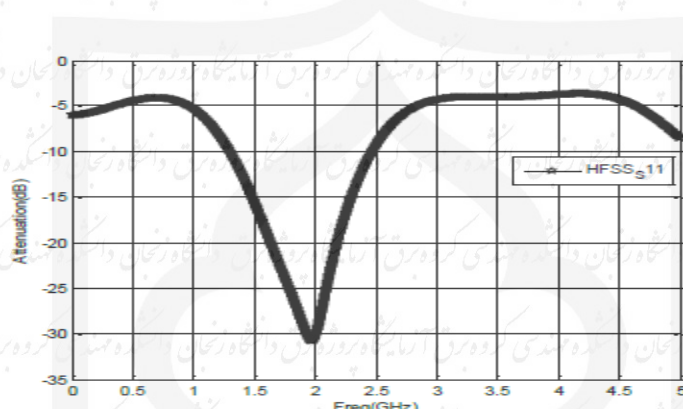
پس مقدار $90^\circ - \lambda$ می شود و به علت وجود طول $\frac{1}{\sqrt{3}} s_{14} = s_{12}$ از خط انتقال مابین پورت به علت ساختار متقارن قطعه، پس از انجام تقسیم ولتاژ میزان توان دریافتی توسط پورت ۲ و ۳ برابر است:

۳) با پورت ۲ و ۴ مقدار $270 - < \frac{1}{\sqrt{3}} = s_{13}$ می شود و دچار 180° - اختلاف فاز می گردد. مشابه نتایج روابط فوق با استفاده از تقارن ساختار مقسم توان بگلی می توان درایه های ماتریس 4×4 مشخصات قطعه

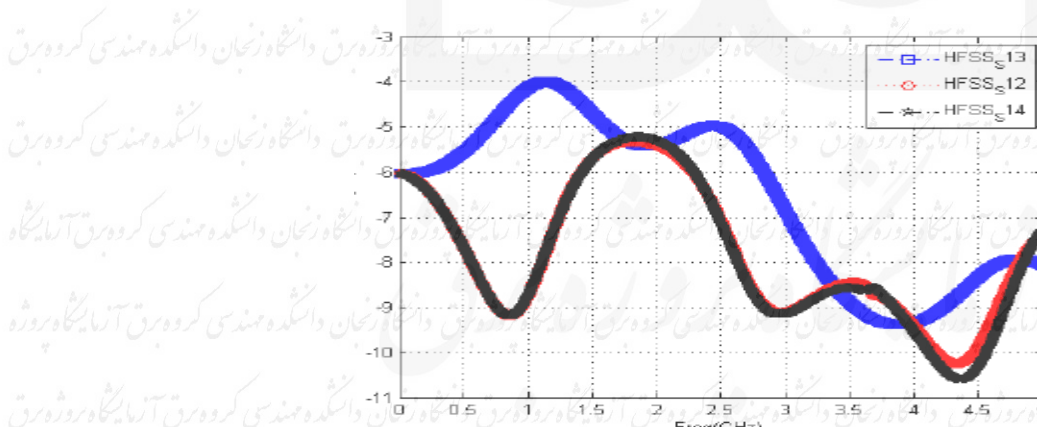
$$H = \begin{bmatrix} 0 & \frac{1}{\sqrt{3}} < -90 & \frac{1}{\sqrt{3}} < -270 & \frac{1}{\sqrt{3}} < -90 \\ \frac{1}{\sqrt{3}} < -90 & -\frac{2}{3} & \frac{1}{3} < -180 & \frac{1}{3} \\ \frac{1}{\sqrt{3}} < -270 & \frac{1}{3} < -180 & -\frac{2}{3} & \frac{1}{3} < -180 \\ \frac{1}{\sqrt{3}} < -90 & \frac{1}{3} & \frac{1}{3} < -180 & -\frac{2}{3} \end{bmatrix}$$

با استفاده از لایه دی الکتریک با ضریب دی الکتریک $\epsilon_r = 4.4$ و ضخامت لایه دی الکتریک $D = 3\text{mm}$ و ضخامت لایه مس $T = 35 \mu\text{m}$ و $t g_{loss} = 0.02$ در فرکانس کاری f_0 شبیه سازی در HFSS

بروژه برق و انتگاه زنجان و اسکده مهندسی کروه برق آذایاگاه پژوهش بر قدر ۱۹۲۰MHZ عبارت است از :



مندی کروه برق آنژیگاهه روزه برق و اسکاگه زنجان و اسکاگه روزه برق و اسکاگه زنجان و اسکاگه مندی نمودار تلفات جایگذاری (insertion loss) که از S_{12} , S_{13} , S_{14} بدست می‌آید در شکل زیر نمایش کروه برق آنژیگاهه روزه برق و اسکاگه زنجان و اسکاگه مندی کروه برق آنژیگاهه روزه برق و اسکاگه زنجان و اسکاگه مندی داده شده است.



دانشجویان محترم:

جهت دسترسی به متن کامل پایان نامه‌ها به کتابخانه دانشکده مهندسی و یا آزمایشگاه پژوهش گروه برق مراجعه فرمایید.

و اندیشه زنجان و اندیشه مهندسی کروه برق آزمایشگاه پژوهش برق و اندیشه زنجان و اندیشه مهندسی کروه برق آزمایشگاه پژوهش برق و اندیشه زنجان و اندیشه مهندسی کروه برق آزمایشگاه پژوهش برق و اندیشه زنجان و اندیشه مهندسی کروه برق آزمایشگاه پژوهش برق و اندیشه

[1] Fooks, E.H, and R.A.Zakaaverevicius, *Microwave Engineering using Microstrip Circuits*, Englewood cliff, NJ: Prentice-Hall, 1990.

[2] Pozar, D.M, *Microwave Engineering*, 2nd Edition, New York: Wiley, 1998.

[3]. David Senior Elles and Yong-Kyu Yoon ,*Compact Dual Band Three Way Bagley Polygon Power Divider Using Composite Right/Left Handed (CRLH) Transmission Lines*, University at Buffalo, The State University of New York, Buffalo,NY, 14260, USA,2009

[4]. D. M. Pozar , *Microwave Engineering*, John Wiley & Sons, Third Edition, 2005.

[5].TuyaWuren, KeiitiTaniya, Iwata Sakagami and Minoru Tahara ,*Miniaturization of 3- and 5- way Bagley Polygon power dividers*, Toyama University, Department of Electrical and Electronics Engineering, Gofuku, Toyama-shi, 930-8555 Japan,2005.

[6].Collin.Roberte,*Microwave Engineering*, McGraw-Hill Companies,Second Edition,1992,Foundations for ,New York,

[7] Ashok K Agrawal and Garaldf F.Mkucki,"A Printed Hybrid directional COUPLER For Arbitrary Power Divisions", CA Missile and surface Radar division Moorestown, NJ 08057,1986.

[8] CHUCK Y. PONT," Hybrid-Ring Directional Coupler for Arbitrary Power Divisions", MEMBER, IRE, 1961.

[9] Chilhyeon Gwon and Kwansun Choi," A New Branch-Line Hybrid Coupler with Arbitrary Power Division Ratio" Dept. of Electrical and Communication System Engineering Soonchunhyang University Asan, Hungnam, Republic of KOREA, 2007.

[10] Cho-Yu Wu, Yi-Chyun Chiou and Jen-Tsai Kuo," Dual-Band Rat-Race Coupler With Arbitrary Power Divisions Using

[11] *Microwave C-Sections*", Institute of Communication Engineering and Department of Electrical Engineering, National Chiao Tung University 1001 Tahsueh Rd., Hsinchu 300 Taiwan,2009 .

[12] Ching-Luh Hsu, Jen-Tsai Kuo, Senior Member, "Miniatirized Dual-Band Hybrid Couplers with Arbitrary Power Division Ratios", IEEE, 2009.

[13] K.C Gupta and Ramesh Garg, "Microstrip and slotlines, second edition", Artech House Boston, London, 1996.

[14] S. S. BEAIR," aceristics of Some Asymmetrical Coupled Transmission Lines", IEEE TRANSACTIONS ON MICROWAVE THEORY AND TECHNIQUES, VOL. MTT-32, NO. 1, JANUARY 1984.

زنگنه و اندیشه مهندسی کروه برق آزمایشگاه پژوهش برق و اندیشه زنجان و اندیشه مهندسی کروه برق آزمایشگاه پژوهش برق و اندیشه زنجان و اندیشه مهندسی کروه برق آزمایشگاه پژوهش برق و اندیشه زنجان و اندیشه مهندسی کروه برق آزمایشگاه پژوهش برق و اندیشه

- [15] Jamshed A. Ansari and Ram Brij Ram," ANALYSIS OF A COMPACT AND BROADBAND MICROSTRIP PATCH ANTENNA", MICROWAVES AND OPTICAL TECHNOLOGY LETTERS, August 2008.
- [16] C. C. Chai, B. K. Chung, and H. T. Chuah," SIMPLE TIME-DOMAIN EXPRESSIONS FOR PREDICTION OF CROSSTALK ON coupled microstrip lines, Faculty of Engineering, multimedia university, 63100 cyberjaya, celangor, Malaysia, 2003.
- [17] L. Chiu and Q. Xue, "Investigation of a wideband 90 hybrid coupler with an arbitrary coupling level", *IEEE Trans. Microw. Theory Tech.*, vol. 58, no. 4, pp. 1022-1029, Apr 2010
- [18] U. H. Gysel, "A new N -way power divider/combiner suitable for high-power application," *IEEE MTT-S Int. Microw. Symp. Dig.*, May 1975, vol. 75, pp. 116-118.
- [19] D.M. Pozar, "Microwave engineering", 2nd edition, John-Wiley & Sons, 1998.
- [20] LIAO SAMUEL Y, "Microwave circuit analysis and amplifier design".
- [21] Naveed Ahsan "Integrated microstrip patch antenna and Ina assembly for gps repeaters".
- [22] K. Wu, D. Deslandes, and Y. Cassivi, "The substrate integrated circuits-A new concept for high frequency electronics and optoelectronics," in Proc. 2003 Sixth Int. Conf. on Telecommunication Modern Satellite, pp. 2-9.
- [23] F. Xu and K. Wu, "Guided wave and leakage characteristics of substrate integrated waveguide," *IEEE Trans. Microw. Theory Tech.*, vol. 53, pp. 66-71, Jan. 2005.
- [24] S. Germain, D. Deslandes and K. Wu, "Development of substrate integrated waveguide power dividers," *CCECE 2003*, pp. 1921- 1924.
- [25] Z. C. Hao, W. Hong, H. Li, H. Zhang and K. Wu, "Multiway broadband substrate integrated waveguide (SIW) power divider," *2005 International Symposium on Antenna and Propagation*, pp. 639-642.
- [26] K. Song, Y. Fan and Y. Zhang "Radial cavity power divider based on substrate integrated waveguide technology," *Electronics Lett.*, vol. 42, pp. 1100-1101, Sep. 2006.
- [27] K. Song, Y. Fan and Y. Zhang, "Eight-way substrate integrated waveguide power divider with low insertion loss," *IEEE Trans. Microw. Theory Tech.*, vol. 56, pp. 1473-1477, Jun. 2008.
- [28] K. Song and Y. Fan, "Broadband travelling-wave power divider based on substrate integrated rectangular waveguide," *Electronics Lett.*, vol. 45, pp. 631-632, Jun. 2009.
- [29] K. Song, Y. Fan and X. Zhou, "X-band broadband substrate integrated rectangular waveguide power divider," *Electronics Lett.*, vol. 44, pp. 211-213, Jan. 2008.

- [30] J. Yu, Y. Jiang, X. Lin, Z. Zhu and Y. Fan, "A four-way halfmode SIW power divider with improved impedance match," in *Proc. of Asia-Pacific Microwave Conference*, pp. 306-308, 2011.
- [31] T. Y. Seo, J. W. Lee, C. S. Cho and T. K. Lee, "Radial guided 4-way unequal power divider using substrate integrated waveguide with ceter-fed structure," in *Proc. of Asia-Pacific Microwave Conference*, pp. 2758-2761, 2009.
- [32] D. S. Eom, J. Byun and H. Y. Lee, "Multilayer substrate integrated waveguide four-way out-of-phase power divider," *IEEE Trans. Microw. Theory Tech.*, vol. 57, pp. 3469-3476, Dec. 2009.
- [33] J. N. Hui, W. J. Feng and W. Q. Che, "Balun bandpass filter based on multilayer substrate integrated waveguide power divider," *Electronics Lett.*, vol. 48, pp. 571-573, May 2012.
- [34] D. Wu, Y. Fan and Z. He, "Vertical transition and power divider using substrate integrated circular cavity," *IEEE Microw. Wireless, Comp. Lett.*, vol. 19, pp. 371-373, Jun. 2009.
- [35] A. Mekis, J. C. Chen, I. Kurland, S. H. Fan, P. R. Villeneuve, and J.D. Joannopoulos, "High transmission through sharp bends in photonic crystal waveguides," *Phys. Rev. Lett.* 77_18_, 3787-3790 _1996_.
- [36] I. Park, H.-S. Lee, H.-J. Kim, K.-M. Moon, S.-G. Lee, B.-H. O, S.-G.Park, and E.-H. Lee, "Photonic crystal power-splitter based on directional coupling," *Opt. Express* 12_15_, 3599-3604 _2004_.
- [37] S. Huang , J .Shi, D Wang, W Li, "Power splitters with different output power levels built with two-dimensional photonic crystals" *Opt Engineering*, February 2006
- [38] M.Javid, F.Monifi, A.Ghafari, M.S.Abrishamian , "A New Broadband L-shaped Bend Based on Photonic Crystal Ring Resonators," *PIERS 2008* in Hangzhou Committee. Key: 070807091236 (posted 11 August 2007, in press). [39] P.Strasser*, R.Flückiger, R.Wüest, F.Robin, and H.Jäckel,"InP-based compact photonic crystal directional coupler with large operation range" OPTICS EXPRESS 8472, 2007.
- [40] T-B Yu, M-HWang, X-Q Jiang, Q-H Liao and J-Y Yang, "Ultracompact and wideband power splitter based on triple photonic crystal waveguides directional coupler", *J. Opt. A: Pure Appl. Opt.* **9** (2007) 37–42
- [41] T .Liu, A. R. Zakharian, M .Fallahi, Multimode Interference Based Photonic Crystal Waveguide Power Splitter, *Journal of Lightwave technology*, Vol.22, No. 12, 2004.
- [42] I. Park, H-S. Lee, H-J. Kim, S-G. Lee., S-G. Park, and E-H. Lee, Photonic Crystal Power Splitter based on directional coupling, *Optical Society of America Optical Express*, Vol. 12, No.15, pp- 3598-3604 , 2004.

[43] Yablonovitch, Inhibited Spontaneous Emission in Solid-State Physics and Electronics, *Phy. Rev. Lett.*, Vol 58, pp. 2059-2062, 1987.

[44] J .Yonekura, M .Ikeda and T. Baba, Analysis of finite 2-D Photonic crystal of Columns and Lightwave Devices using the Scattering Matrix Method, *Journal of Lightwave technology*, Vol 17, No. 8, 1999.

[45] K. Fasihi and S. Mohammadnejad, Highly efficient channel-drop filter with a coupled cavity-based wavelength-selective reflection feedback, In *Proceedings Optics Express*, Vol. 17, pp. 8983-8997, 2009.

[46] M. A. Mansouri-Birjandi, M. K Moravvej-Farshi and A . Rostami, Ultrafast low-threshold all-optical switch implemented by arrays of ring resonators coupled to a Mach-Zehnder interferometer arm: based on 2D photonic crystals, in proceeding of Optical Society of America, vol. 47, No 27, pp. 5041-5050, 2008.

[47] Park I., Lee H. S., Kim H. J., Moon K. M., Lee S. G., Park S. G., and Lee E. H., Photonic crystal power-splitter based on directional coupling, *Opt. Express*, 12 (2004) 3599-3604.

[48] Fan S., Johnson S. G., Joannopoulos J., Manolatou C., and Haus H., Waveguide branches in photonic crystals, *JOSA B*. 18 (2001) 162-165.

[49] Zhang Y., Li Z., Li B., Multimode interference effect and self-imaging principle in two-dimensional silicon photonic crystal waveguides for terahertz waves, *Opt. Express*, 14 (2006) 2679–2689.

[50] Joannopoulos J. D., Johnson S. G., Meade R. D., Winn J. N., *Molding the Flow of Light, Photonic Crystal*, Princeton University Press, 2008.

[51] Hou Y., Fan F., Wang X. -H., and Chang S. -J., Terahertz Power splitter based on ferrite photonic crystal, *Optik*, (2012).

[52] Xu Q., Xie K., Ran Y., and Tang J., 3dB power splitter design based on coupled cavity waveguides, *Optik*, 122 (2011)156-158.

[53] Ebnali-Heidari M., Grillet C., Monat C., and Eggleton B., Dispersion engineering of slow light photonic crystal waveguides using microfluidic infiltration, *Opt. Express*, 17 (2009) 1628-1635.

[54] A. Mekis, J. C. Chen, I. Kurland, S. H. Fan, P. R. Villeneuve, and J.D. Joannopoulos, “High transmission through sharp bends in photonic Crystal waveguides,” *Phys. Rev. Lett.* 77_18_, 3787–3790 _1996_.

[55] I. Park, H.-S. Lee, H.-J. Kim, K.-M. Moon, S.-G. Lee, B.-H. O, S.-G.Park, and E.-H. Lee, “Photonic crystal power-splitter based on directional coupling,” *Opt. Express* 12_15_, 3599–3604 _2004_.

[56] S. Huang , J .Shi, D Wang, W Li, ”Power splitters with different output power levels built with two-dimensional photonic crystals” *Opt Engineering*, February 2006.